

# 산소치료에서 공급되는 산소농도에 대한 호흡기 Dead Spaced의 영향 Effects of Respiratory Dead Space on the Oxygen Purity in the Oxygen Therapy

\*김승찬<sup>1</sup>, 지석환<sup>1</sup>, #이태수<sup>2</sup>\*S. C. Kim<sup>1</sup>, S. H. Chi<sup>1</sup>, #T. S. Lee(tslee@sogang.ac.kr)<sup>2</sup><sup>1</sup> 서강대학교 대학원 기계공학과, <sup>2</sup> 서강대학교 기계공학과

Key words : Oxygen Purity, Normal Breathing, Tidal Volume, Dead Space, Continues Flow Oxygen

## 1. 서론

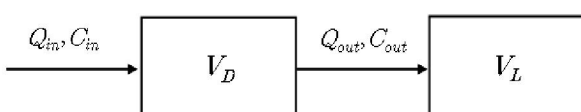
만성폐색성 폐질환(COPD, Chronic Obstructive Pulmonary Disease)의 치료법 중 대표적인 것이 장기적 산소치료(LTOT, Long Term Oxygen Therapy)이다. 이것은 고 순도의 산소를 지속적으로 공급하는 CFT(Continuous Flow Oxygen)방식과 간헐적으로 공급하는 Pulse 방식이 있다[1-2]. 이러한 치료방식에 관한 다양한 연구들 중에서 최근 Dead Space 즉, 호흡 시 폐 속의 공기가 폐 밖으로 나가지 못하고 머무는 공간이 폐 속 산소 농도에 미치는 영향성에 대한 연구가 활발히 이루어지고 있다. 특히 Robert McCoy는 그 영향을 단순히 일회 호흡량(Tidal volume)에서 Dead Space의 체적을 제외하고 나머지 체적만을 가지고 영향을 연구하였다[3].

그렇지만 이는 실제 날숨 후의 Dead Space내의 저 농도 산소가 들숨 때 폐 속에 먼저 공급되고 그 후에 고 농도의 산소가 공급되는 실제 호흡체계를 정확히 반영할 수 없다. 따라서 본 연구의 목적은 실제 호흡체계를 좀 더 명확히 반영하여 Dead space가 산소 치료에 미치는 영향에 관하여 연구함에 있다. 이를 위해 수치적인 방법을 통한 산소농도의 예측과 실험적 방법을 통한 산소농도의 측정을 실시한다.

## 2. 수치적 방법을 통한 산소농도의 예측

산소 치료에서 들숨 시 고 농도의 산소는 Dead Space의 날숨 후 남은 저 농도의 산소가 먼저 폐로 들어간다는 점에서 그림 1과 같은 수치적 모델을 구성할 수 있다. 이때  $V_D$ 는 Dead Space의 체적,  $V_L$ 은 Dead Space를 제외한 폐의 체적을 의미하고  $Q_{in}$ ,  $Q_{out}$ 은 Dead Space를 들어가고 나가는 유량을,  $C_{in}$ ,  $C_{out}$ 은 그 때의 산소농도이다.

산소와 공기를 비압축성 기체라 가정하면 식(1)과 같은 질량보존방정식으로 정의 할 수 있다. 또한 Dead Space를 들어오고 나가는 유량은 같으므로 식(2)와 같이 정의 된다. 식(1)과 식(2)를 통하여 호흡시의 산소농도의 시간에 따른 변화를 예측할 수 있게 된다. 그림 2는 건강한 성인이 분당 20회의 호흡을 할 때의 유량과 그 때의 호흡량을 일회 호흡시간에 맞추어 나타낸 것이다[4].

Fig. 1 Volume of dead space ( $V_D$ ) and lung ( $V_L$ )

호흡유량에 따른 일회 호흡량은 식(3)과 같은 관계에 따라 구할 수 있으며 그림 2와 같은 경우 일회 호흡량은 500[mL]이다. 폐질환 환자의 경우 일회 호흡량이 매우 불규칙하기 때문에 본 연구에서는 정상상태의 호흡패턴을 이용하여 산소농도의 변화를 예측한다.

순도가 100%인 산소를 산소치료에서 대표적으로 공급하는 산소의 유량인 1-5[LPM]으로 각각 공급해주었을 때 Dead Space의 영향을 고려하지 않은 산소농도를 표1에 나타내었다.

날숨 후의 Dead Space 내의 산소농도는 평균적으로 14%에 달하게 되는데 이것은 식(1)과 식(2)에서의 산소농도 ( $C_0$ )의 초기조건이다[5]. 이와 더불어 시간( $t$ )의 초기조건  $t_0=0$ 을 이용하여 Dead Space의 영향을 식(1)과 식(2)를 통하여 시간에 따른 산소농도의 변화를 예측한 그래프를 그림 3에 나타내었다.

$$\frac{dC}{dt} = Q_{in} \times C_{in} - Q_{out} \times C_{out} \quad (1)$$

$$Q_{in} = Q_{out} \quad (2)$$

$$V_T = \int Q_T dt \quad (3)$$

## 3. 실험적 방법을 통한 산소농도의 예측

인체모델에서 산소농도의 측정을 위하여 그림 4와 같이 실험 장치를 구성하였다. 인체의 호흡 패형을 재현하기 위해 실린더(DNG160-400PPV-A, FESTO)와 모터(HC-RFS-103(B), MITSUBISHI)에 의한 퍼스톤 운동과 밸브(MYPE-5-3/8-010B, FESTO)의 실시간 제어를 통해 원하는 호흡패턴에 대한 호흡모사를 재현할 수 있는 장치를 이용하였다[6].

기계적 호흡모사장치에는 압력센서(TSD160C, BIOPAC)와 유량센서(TSD107B, BIOPAC)가 연결되어 있어 장치로부터 나오는 압력과 유량을 측정할 수 있게 되어있다.

유량센서의 말단에 자체 제작한 체크밸브를 설치하여 마네킹에 장착된 캐뉼라(Cannulas)를 통하여 산소와 공기가 혼합되어 들어온다.

이때 공기중의 산소는 캐뉼라를 통해서 들어오는 100%

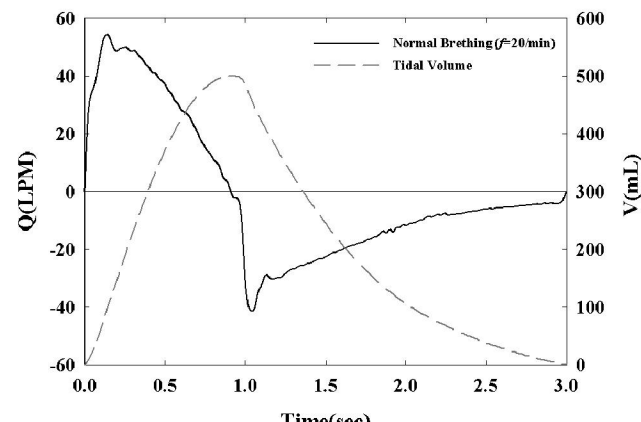
Fig. 2 Normal Breathing ( $f=20/\text{min}$ ) pattern and Tidal Volume

Table 1 Oxygen Purity (%) of McCoy's Methods and Results in the Present Study

Q (LPM)	McCoy[3]		Present Study with Dead Space	
	With Dead Space	W/O Dead Space	Computation	Experimental Results
1	24	24	23.4	23.0
2	26	28	25.7	24.8
3	29	32	28.0	26.8
4	31	36	30.3	29.7
5	34	40	32.6	31.5

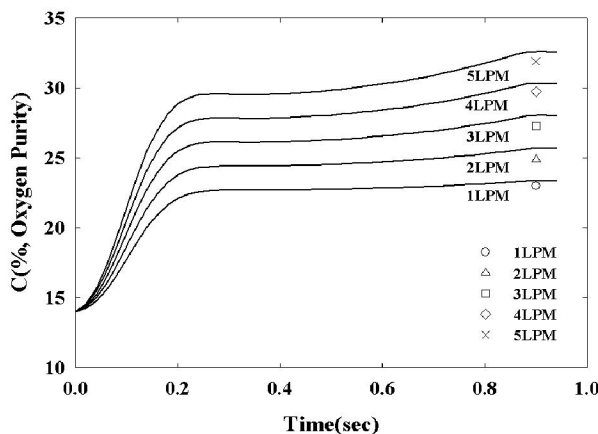


Fig. 3 Oxygen Purity Comparison of Computation (lines) and Experiments (symbols) in Lung.

산소와 혼합되어 장치 내로 주입된다. 날숨 시 산소분석센서(MAXO<sub>2</sub>, Model OM-25A, MAXTEC)를 통해 배출된다.

실험장치 내에서의 Dead Space의 구성은 다음과 같다. 인체모델은 일반적인 성인남성의 평균적인 기도의 길이 260mm, 직경은 30mm으로 정하였다. 또한 기도에 연결되는 외비공의 경우 직경 15mm로 구성하였다[7]. 외비공에 캐뉼라를 연결하여 고순도 산소통에서 공급되는 산소의 유량을 유량계를 통하여 1-5LPM로 조절하여 산소를 공급하였다.

#### 4. 결과

표 1에서 확인할 수 있듯이 Dead Space의 영향은 Dead Space를 고려하지 않았을 때보다 고려하였을 때 폐 속의 산소농도가 더 높다는 점에서, 즉 폐 속에 원하는 산소농도를 공급하려면 더 많은 양의 산소를 공급해야 한다는 점에서 Robert McCoy의 연구와 본 연구에서 그 영향을 확인할 수 있다. 그렇지만 표 1을 보면 본 연구의 결과가 같은 양의 산소를 공급하였을 때 Robert McCoy의 값보다 더 낮음을 알 수 있다. 이는 서론에서 언급한 것과 같이 Robert McCoy의 연구에서 가정한 단순히 폐 속의 Dead Space의 체적을 제하는 것이 실제 호흡체계를 반영해주지 못함을 보여주는 것이다. 이러한 차이의 발생은 날숨 후의 저 순도 산소가 폐 속으로 산소를 공급할 때 고 순도의 산소와 혼합되어 실제 공급순도보다 낮아지기 때문에 Robert McCoy의 연구 결과 보다 낮은 산소농도가 폐 속에 공급되는 것이다. 이와 같이 본 연구에서 실시한 수치적 예측 값과 실험 값을 통해 Dead Space의 체적이 산소농도에 미치는 영향을 준다는 것을 확인 할 수 있었으며, 또한 초기의 산소농도가 폐 내의 산소농도에 영향을 준다는 것을 알 수 있다.

#### 5. 결론

Robert McCoy의 방법은 Dead Space의 영향을 예측함에 있어 그 방법의 가정이 실제 호흡체계를 반영하기 어렵기 때문에 Dead Space를 고려한 폐의 산소농도의 예측에는

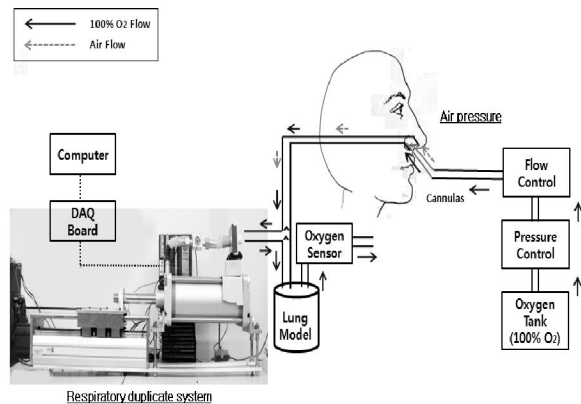


Fig. 4 Diagram of Experimental Equipment

합리적이지 못한 방법이다. 그러나 본 연구에서 제시한 수치적 모델과 실험장치는 실제의 호흡체계를 좀 더 명확히 반영할 수 있다. 또한 환자의 치료 시 원하는 산소 농도를 공급하기 위해서는 Dead Space의 영향을 고려하여 그렇지 않을 때 보다 더 많은 산소를 공급해야 한다는 것을 알 수 있다. 그러므로 산소치료에 있어 Dead Space의 영향은 존재하며 환자의 치료 시 반드시 고려해야 하는 부분임을 본 연구에서 확인하였다.

#### 참고문헌

- Jan Zielinski, MD, FCCP; Miroslaw Tobiasz, MD; Iwona Hawrylkiewicz, MD; Paweł Sliwinski, MD; and Grzegorz Palasiewicz, MD, "Effects of Long-term Oxygen Therapy on Pulmonary Hemodynamic in COPD Patients," *Chest*, 113, 65-70, 1998
- Linda C Gallegos RRT, John W Shigeoka, "Novel Oxygen Concentrator based equipment take a test drive first," *Respiratory Care*, 51(1), 25-28, 2006
- Robert McCoy RRT, "Oxygen-Conserving Techniques and Device," *Respiratory Care*, 45(1), 95-104, 2000
- Peter L Bliss BME, Robert W McCoy RRT BSM, and Alexander B Adams RRT MPH, "A Bench Study Comparison of Demand Oxygen Delivery Systems and Continuous Flow Oxygen," *Respiratory Care*, 44(8), 925-931, 1999
- C. Kolle, W. Gruber, W. Trettnak, K. Biebennik, C. Dolezal, F. Reininger, "Fast optochemical sensor for continuous monitoring of Oxygen in breath-gas analysis," *Sensors and Actuators* B38-39, 141-149, 1997
- S. H. Chi, M. K. Lee, T. S. Lee, Y. S. Choi, S. K. Oh, "The Study of Mechanical Simulation for Human Respiratory System," *Korean Society of Medical & Biological Engineering*, 29(4), 323-328, 2008
- C.H. Cherng, C.S. Wong, C.H. Hsu, S.T. Ho, "Airway length in Adults: Estimation of the Optimal Endotracheal Tube length for Orotracheal Intubation," *Journal of Anesthesia*, 14, 271-274, 2002